

## I-33 トラスドランガーホー桁の振動について

大阪大学工学部 正員 赤尾 親助

ランガーホー桁の垂直吊材を斜めにしトラス化すれば、その力学的性状はトラスに近づき、軸力による抵抗分が増して下弦材(補剛ガーダー)の曲げモーメントが減少する。弓弦トラスの欠点をさけるため、端部の1~2格架についてはランガーホー形式を残し、中央部分をトラス化した形式(図-1)は、ランガーホー系の軽快さに、トラスの特性を加えるもので、

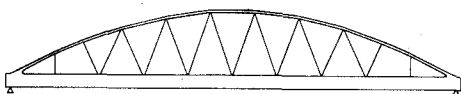


Fig. 1 a Trussed Langer System a

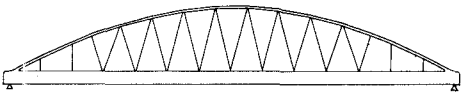


Fig. 1 b Trussed Langer System b

静力学的に種々の特徴があるほか、動的性状が通常のランガーホー桁に比し改善されることが期待される。そこで本形式の構造の振動性状をしらべる階梯として、Ritzの方法により固有振動数と振動モードを求めてみたので、その結果について述べる。

### 振動方程式

下弦材の振動変位を  $\eta(x, t) = \eta(x) \sin(\omega t + \varepsilon)$ ,  $\eta(x) = \sum_n a_n \sin \frac{n\pi x}{\ell}$  であらわすこととする。

振動変位  $\eta_n(x) = a_n \sin \frac{n\pi x}{\ell}$  によって上弦材に生ずる軸力を  $X_{m,n}$  とすれば、 $\eta(x)$  による上弦材軸力の増加は  $X_m = \sum_n X_{m,n}$

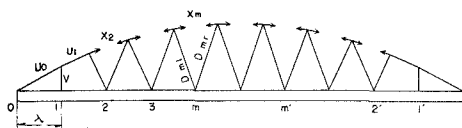


Fig. 2 a Static System a

弾性方程式より、下弦材曲げモーメントと上弦材軸力の関係式を導き、かつ

$$X_{m,n} = -a_n \cdot n^2 \frac{\pi^2 EI_g}{3\mu^2 \lambda^2} \bar{X}_{m,n} \quad (3)$$

とおくと、図-1aの場合について(図-2参照)

$$2B_2 \bar{X}_{2,n} + C_2 \bar{X}_{3,n} = (5\alpha_2 - 4\alpha_0) \sin \frac{n\pi\lambda}{\ell} + (5\alpha_2 - \alpha_0) \sin \frac{2n\pi\lambda}{\ell} + \alpha_2 \sin \frac{3n\pi\lambda}{\ell} \quad (m=2) \quad (4)$$

$$C_{m-1} \bar{X}_{m-1,n} + 2B_m \bar{X}_{m,n} + C_m \bar{X}_{m+1,n} = \alpha_m \left\{ \sin \frac{n(m-1)\pi\lambda}{\ell} + 4 \sin \frac{nm\pi\lambda}{\ell} + \sin \frac{n(m+1)\pi\lambda}{\ell} \right\} \quad (m \geq 3) \quad (4)$$

$$C_{m-1} \bar{X}_{m-1,n} + B_m \bar{X}_{m,n} = \alpha_m \left\{ \sin \frac{n(m-1)\pi\lambda}{\ell} + 2 \sin \frac{nm\pi\lambda}{\ell} \right\} \quad (m: \text{中央, 対称変位}) \quad (4)$$

ここで  $B, C, \alpha$  は桁の形状、寸法、部材断面積比により与えられる係数である。

つまに自由振動時の Potential Energy  $V_{max}$  および Kinetic Energy  $T_{max}$  を求め、条件  $\frac{\partial}{\partial a_n} (V_{max} - T_{max}) = 0$  を用いれば、次の連立式が得られる。

$$\begin{aligned} a_n \left[ \omega^2 - n^4 \frac{\pi^4 EI_g g}{w \ell^4} \left\{ 1 + \frac{2\lambda}{9\mu^2 \ell} \left( \sum_m B_m \bar{X}_{m,n}^2 + \sum_m C_m \bar{X}_{m,n} \bar{X}_{m+1,n} \right) \right\} \right] \\ - \sum_{n+r} a_r n^2 r^2 \frac{\pi^4 EI_g g}{w \ell^4} \frac{2\lambda}{9\mu^2 \ell} \left\{ \sum_m B_m \bar{X}_{m,r} \bar{X}_{m,n} + \frac{1}{2} \sum_m C_m (\bar{X}_{m,r} \bar{X}_{m+1,n} + \bar{X}_{m+1,r} \bar{X}_{m,n}) \right\} = 0 \quad (5) \end{aligned}$$

$n = 1, 2, 3, \dots$

ここで  $EI_g$ : 下弦材の曲げ剛性(一定),  $g$ : 重力加速度,  $w$ : 単位長あたりの桁自重,

$$l: \text{支間}, \lambda: \text{格間長}, \mu^2 = I_g/A_g \lambda^2, A_g: \text{下弦材断面積}.$$

式(5)の係数行列式 = 0 とすれば、固有値  $\omega$  はその根として求まる。根  $\omega$  を  $\omega_1 < \omega_2 < \dots < \omega_r$  とすれば、オイリ振動周期は  $T_{kL} = 2\pi/\omega_{kL}$  (s/c)。さらに  $\omega_{kL}$  を式(5)に代入すれば、半波次の振動モード  $\eta_k(x)$  をあらわす係数  $a_{n,k}$  の相互の割合が定まり、これより正規固有関数が与えられる。

### 計算例

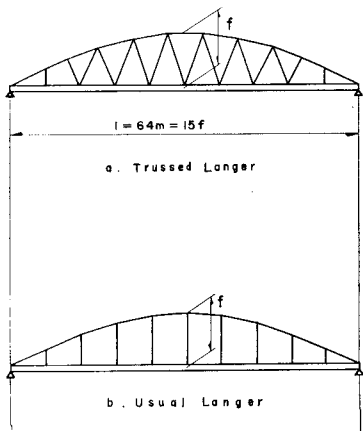


Fig. 3 Systems used for calculating examples

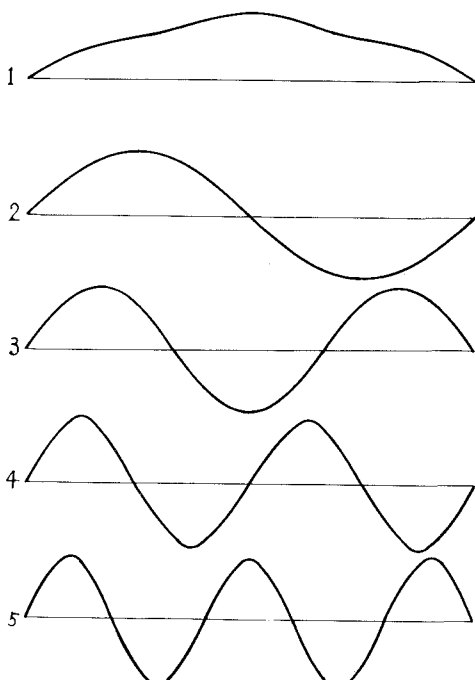


Fig. 4 Mode of vibration

支間 64m,  $f/l = 0.15$ ,  $I_g = 1.8 \times 10^6 \text{ cm}^4$ ,  $w = 2.79 T/m$  (片側),  $\mu^2 = 0.012$  (図-3 参照) とし、対称および逆対称振動の各々に対し、式(1)の  $a_n$  を 3 項対称として比較計算した結果、固有値は表-1 のようになる。この場合一次振動周期では、トラスドランガーハの方が大きくなっている。著しい相異は 2 次振動周期(逆対称 1 次)であつて、通常ランガーハでは、逆対称振動に対しては、上弦材は原則的には効かないので、下弦材のみの振動周期と一致することになるが、トラスドランガーハでは逆対称振動の場合も上弦材は共働するからである。

$\omega_g$  は下弦材のみの場合の固有値を示し、比較ランガーハでは、逆対称振動および 5 次(対称 3 次)振動ではほとんど  $\omega_{k,L}$  と  $\omega_g$  は一致する。

図-4 はトラスドランガーハの場合の振動モードを示す。1 次振動では、ランガーハの場合は傾向的にかなりの相違が認められるようである。

表-1. 固有値、周期の比較

	1	2	3	4	5	6
ト ラ ス ド 系 1	$\omega_{kL}$ 14.92	21.45	34.94	51.87	77.42	103.24
ラン ガ ー	$T_{kL}$ 0.421	0.293	0.180	0.121	0.081	0.061
比 較 ラン ガ ー	$\omega_{kL}$ 16.10	11.11	26.03	44.46	69.55	100.03
1	$T_{kL}$ 0.390	0.565	0.241	0.141	0.090	0.063
下 弦 材 のみ	$\omega_g$ 2.779	11.11	25.01	44.46	69.46	100.03
	$T_g$ 2.261	0.565	0.251	0.141	0.090	0.063

$\omega$ : Rad/sec,  $T$ : sec/cycle.